

밧데리 개별 제어 방식에 의한 소규모 독립형 태양광 발전 시스템의 특성 개선

姜信永^{*}, 李洋揆, 金珖憲

The Improved Characteristics of the Stand-alone PV System
by the Independent Battery Control Method

Sin Young Kang, Yang Guy Lee, and Kwang Heon Kim

요 약

본 연구는 PV모듈, 밧데리, 충·방전시스템 등으로 구성된 태양광 가로등을 대상으로 소규모 독립형 태양광 발전 시스템(SPVS)을 연구하였다. 태양전지의 발전 효율을 증가시키고 밧데리를 효율적으로 사용할 수 있도록 하기 위해 별별로 연결된 밧데리를 개별적으로 제어할 수 있는 시스템을 제안하였다.

제안된 시스템은 기존의 방식에 비해 밧데리 충전효율이 증가되고 충방전 횟수를 50%정도 감소시킬 수 있다. 또한 별별 연결된 전지를 개별적으로 충전 혹은 방전 모드로 제어함으로서 일부 밧데리 고장시에도 일정기간 동안은 정상동작이 가능하고, 밧데리의 고장이 정상적인 밧데리로 전이되는 것을 예방할 수 있어 시스템 유지 보수비용을 줄일 수 있어 태양광 가로등에 적용할 경우 비용절감이 가능할 것으로 예상된다.

ABSTRACT

This paper studies the stand-alone photovoltaic system for the solar lighting lamp. The solar lighting lamp has PV modules, batteries, and charge & discharge system. The charge efficiency is improved for the control of each battery which is divided the charge from the discharge to change the structure of existing solar lighting lamp charge & discharge system. so, the charge and discharge times are reduced of 50% and the depth of discharge control can be controlled in the discharge cut off voltage. It can be effective of the battery use. If a battery is out of order, this system can be executed for a regular period. So we saved the repair cost and developed of system's stabilization. It is possible to make economical effects to apply for solar lighting lamp used photovoltaic system.

Key Words : solar lighting lamp, charge, discharge, stand-alone photovoltaic system, battery

1. 서 론

1.1 태양광 발전의 특징

최근 환경문제에 대한 관심 증가와 유가 상승을 계기로 태양광 및 풍력 등에 대한 연구가 활발하게 진행 중이다. 특히 태양광 발전은 차량, 장난감, 주거용 발전, 및 가로등과 같은 다양한 분야에 적용이 가능하여 여러 분야에서 적용한 예가 보고되고 있다.

*전남대학교 전기공학과 박사과정 수료

E-mail : ksy2103@hotmail.com

접수일자 : 2002. 7.15

1차심사 요청일 : 2002. 7.30

심사완료일 : 2002. 9. 5

태양광 발전은 Photovoltaic Effect(광기전력효과)를 이용한 것으로 P-N 접합된 반도체에 광 에너지를 가하면 전기가 발생하는 원리이다. 그림 1에 전류원과 다이오드 및 저항으로 구성된 One-Diode 태양전지 모델을^{[1][2]} 나타내었다. 이 모델은 본 연구의 시뮬레이션을 위한 기본 모델로 사용하였다.

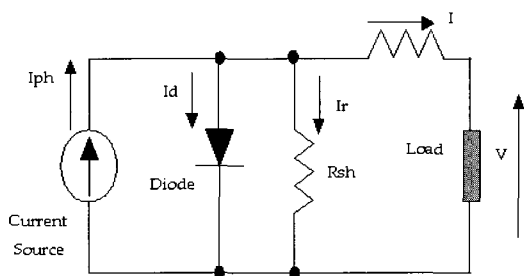


그림 1 원다이오드 태양전지 모델
Fig. 1 One-Diode Solar Cell Model

1.2 태양광 발전 연구동향

태양에너지는 저밀도이고 변환효율도 상용제품의 경우 14% 이하로 낮을 뿐 아니라 태양전지가 아직은 상당히 고가다. 따라서 태양전지의 발전 효율을 높이기 위한 방법이 많이 연구되어지고 있다. 주로 사용되는 방법은, 태양전지의 I-V 곡선으로부터 전력이 최대가 되는 점을 추적할 수 있도록 부하의 조건에 따라 전류 및 전압 값을 조정해주는 방법을 사용하고 있다. 그림 2에 I-V 곡선 및 P-V 특성곡선을 나타내었다.

그림 2에서 MPP는 최대 전력점이고, I_{sc} 는 태양전지 단락전류, V_{oc} 는 태양전지 오픈전압, V_{mp} 는 태양전지 최대전력 동작 전압을 나타낸다^[3].

최근에는 태양광 발전을 독립형과, 연계형으로 구분하며, 계통연계형은 중대규모의 발전시스템에서 연구목적으로 주로 적용되고 있으며, 독립형의 경우는 등대,

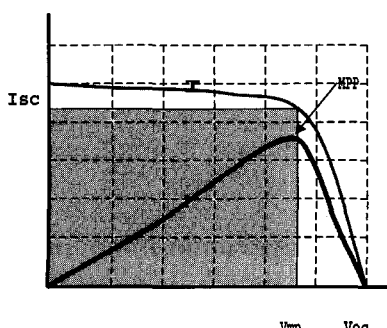


그림 2 전력, 전류-전압 곡선
Fig. 2 Power, Current-Voltage curve

가로등 및 인공위성 등과 같이 소규모의 독립된 설비에 주로 적용되고 있다.

본 연구에서는 소규모 독립형 태양광 발전 시스템을 대상으로 최대전력 추종(MPPT) 및 밧데리 충·방전 특성을 개선 할 수 있는 제어방법 및 밧데리의 효율적 관리하여 시스템의 유지보수비용을 절감할 수 있는 방법 등을 연구 실현하였다.

2. 태양광 발전 이론

2.1 태양광 발전 특성

태양전지의 출력특성은 일사량과 온도 및 부하에 따라 변화하기 때문에 최대 출력점(MPP)이 달라지게 된다.

그림 1에서 출력전류 I 는 식(1)과 같고 광기전류 I_{ph} 는 식 (2)와 같이 나타난다. 그리고 다이오드 전류 I_d 는 식 (3)으로 나타난다. 식 (2)와 (3)을 식 (1)에 대입하여 정리하면, 태양전지 특성방정식은 식 (4)와 같이 나타낼 수 있다.

$$I = I_{ph} - I_d - I_r \quad (1)$$

$$I_{ph} = I_{sc} \left(\frac{s}{1000} \right) + J_0 (T - T_{ref}) \quad (2)$$

$$I_d = I_{sat} \left[\exp \left\{ \frac{q(V + R_s I)}{nkT} \right\} - 1 \right] \quad (3)$$

$$I = I_{ph} - I_{sat} \left\{ \exp \left[\frac{q(V + IR_s)}{AKT} \right] - 1 \right\} - \frac{V + IR_s}{R_{sh}} \quad (4)$$

여기서, 전류원 I_{ph} 는 광기전류, I_{sat} 는 역포화전류, I_r 는 누설전류, q 는 전하량, A 는 다이오드 성능 지수, K 는 볼쓰만 상수, T 는 절대온도, T_{ref} 는 기준온도, J_0 는 온도계수, R_{sh} 는 별렬저항, R_s 는 직렬저항, I 는 부하전류이고 V 는 부하전압, s 는 일사량을 나타낸다^{[1][4]}.

2.2 태양광 MPPT 제어 방법

태양전지로부터 최대의 전력을 발전하기 위해 사용하는 기술이 MPPT이다. MPPT는 그림 2와 같이 동일 광량에서 발생되는 전력이 전압에 따라 변하기 때문에 MPPT 제어를 하지 않을 경우 태양 전지는 최대전력점에서 발전하지 못하게되어 태양전지 발전효율이

저하된다. 따라서 기상조건과 부하 조건의 변화에 따라 동작전압을 최적화하는 MPPT 제어가 필요하다. MPPT법으로는 P&O법, IncCond법, 일정전압 제어법 등 3가지가 주로 이용된다.

P&O 법은 소수의 파라미터만 측정하여 적용할 수 있어 적용이 비교적 용이하다. 일정주기마다 태양전지 전압을 증가 혹은 감소시켜 이때의 발생전력을 비교하여 최대 전력점에서 동작하도록 연속적으로 전압을 제어하는 방법이다. 이 방법은 전 단계의 전압, 전류와 현재의 전압 전류를 비교하여 다음 단계의 제어를 결정함으로서 최대 전력점에서 동작하게 할 수 있다. 이 방법은 광량이 낮은 경우 제어특성이 나빠지고, 광량 변화가 심한 경우 MPPT 추종을 실패하는 경우가 있는 것으로 알려져 있다.

IncCond 법은 임피던스 매칭법으로 부하의 임피던스와 태양전지의 임피던스가 같아지는 지점에서 태양전지 출력이 최대가 되는 것을 이용하는 방법이다. 그림 2의 MPP점에서 전압에 대한 전력의 기울기가 zero가 된다. 따라서 최대 전력점에서는 전압변동에 대하여 전력의 변화가 zero가 되므로 식 (5)같이 되고 발전전력 $P = I \times V$ 이므로 식 (5)을 편미분하면 식 (6)으로 나타난다^{[5][6][7]}. 따라서 식 (7)을 만족하면 최대 전력점이 됨을 알 수 있다.

$$\frac{dP}{dV} = 0 \quad (5)$$

$$\frac{I}{dV} - \frac{V}{dI} = 0 \quad (6)$$

$$\frac{dI}{dV} = -\frac{V}{I} \quad (7)$$

즉 전압 전류의 비와 이때의 전압 전류의 변화 비율이 동일한 지점이 최대 전력점이 된다. 이 방법은 추종 성능이 비교적 우수하나 많은 연산을 필요로 하여 프로세서에 상당한 부담을 주는 단점이 있다.

일정전압 제어법은 최대 전력점이 일정전압에서 크게 벗어나지 않는 지점에서 나타나므로 전압을 일정하게 유지하여 제어하는 방법이다. 효율이 약간 떨어지고 정확한 MPP 추정이 안되는 단점이 있으나 제어기구성이 간단하여 소규모 시스템에 적합하다. 특히 저광량에서도 전압을 일정하게 제어하므로 안정적으로 동작하는 특징이 있다.

밧데리를 사용하는 소규모 독립형 태양광 발전시스

템(SPVS)에서는 태양전지의 발전을 밧데리 충전에 사용하게 된다. 이때 그림 2의 I-V곡선은 전압에 대하여 단조감소 함수이다. 또한 밧데리는 충전시 약간의 전압변동이 있으나 거의 12V 내외의 일정한 전압을 갖는 특성을 가지고 있다. 따라서 태양전지의 발전은 밧데리의 전압에 영향을 받게된다.

실험결과 태양전지의 최대 전력점은 밧데리의 전압보다 약간 높은 전압에서 나타나는 것으로 확인되었다. 이는 태양전지의 I-V곡선과 밧데리의 충전 특성 때문인 것으로 이해된다. 따라서 태양광 가로등과 같은 SPVS에서는 P&O법이나 IncCond 법보다 일정전압 제어법이 효과적인 MPPT 방법이 될 수 있을 것으로 나타났다.

본 연구에서는 이러한 태양전지와 밧데리의 특성을 고려한 태양전지 발전효율 개선 및 밧데리 관리 방법 등을 연구 실현하였다.

2.3 밧데리 충·방전 특성

밧데리는 충전하면 잔존용량(SoC: State of Charge)의 증가와 함께 전압이 상승하고 방전시에는 반대로 전압이 감소하는 특성을 갖는다. 밧데리의 이러한 특성은 태양광 발전에서 MPPT 특성을 결정하는 한 요인이 된다. 그리고 태양광 가로등 설계시 밧데리 충·방전 특성을 고려하여 과충·방전 방지 회로가 필요하다.

그림 3에 밧데리 충·방전 특성을 나타내었다. $-\nabla V$ 점은 충전 과정에서 전압이 상승하다 만충전 상태가 되면 전지 내부의 역반응으로 전압이 일시적으로 감소하는 지점으로 충전을 종료하지 않을 경우 많은 열이 발생하고 밧데리에 손상을 주어 밧데리 수명을 단축시키는 원인이 된다. 따라서 $-\nabla V$ 점에서는 충전을 즉시 종료하여야 한다.

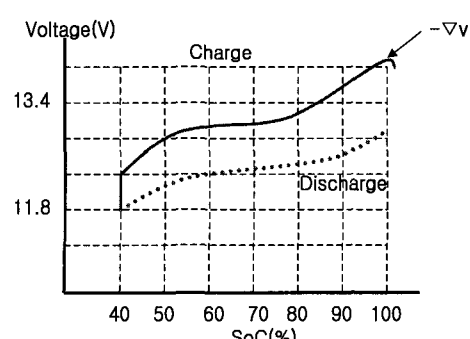


그림 3 밧데리 충전 방전 곡선

Fig. 3 Battery Charge Discharge curve

그림 3에서 실선은 충전특성 곡선이고 점선은 방전 특성 곡선을 표시하고 있다. 방전시에는 밧데리 내부 저항으로 인해 동일 잔존용량일 때 충전시 전압보다 낮은 전압을 나타내게된다. 밧데리의 보호를 위해 충·방전시 Cut off 전압을 설정하여 밧데리의 과충·방전을 예방해야한다. Cut off 전압은 밧데리 종류 및 충·방전 전류에 따라 달라지므로 태양전지와 함께 사용할 경우 이를 고려한 시스템 설계가 필요하다.

2.4 SPVS(태양광 가로등)의 특성

태양광 발전 시스템에서는 MPPT 특성이 일정전압 제어법 보다는 P&O법이나 IncCond법이 보다 우수한 특성을 갖는 것이 일반적이나 태양광 가로등의 경우는 P&O 법이나, IncCond법 보다 전지 충전 상태에 따라 제어 전압을 약간씩 변화시켜 주는 일정전압 제어법을 사용하는 것이 유리한 것으로 나타났다. 이는 밧데리의 충전량은 전류의 누적치로 나타나고, 태양전지의 전류특성은 그림 2와 같이 전압에 대하여 단조 감소특성이 있어 밧데리 전압이 낮을수록 충전량이 증가하는 특성을 나타내게된다. 따라서 동일한 외부 조건에서 밧데리 단자전압이 낮을수록 충전량이 증가하게 된다.

밧데리를 사용하는 소규모 태양광 발전 시스템인 태양광 가로등은 충전과 방전이 각기 다른 시간에 수행되고, 충전량은 전적으로 전류 누적량으로 나타난다. 그리고 충전이 진행되면서 밧데리 전압이 상승하면서 Charger의 동작 특성이 변하게 된다. 또한 태양전지의 I-V 곡선에서 전류는 단조 감소함수를 갖게 되므로 전압이 낮을수록 전류가 증가하는 특성이 있다.

본 연구에서는 태양광 가로등의 동작특성을 감안 태양광 발전효율을 높이고, 밧데리의 충·방전 횟수를 줄일 수 있을 뿐 아니라 밧데리에 방전종료 전압 내에서 방전심도를 제어하는 밧데리 관리방법을 연구하여, 병렬 연결하여 사용되는 밧데리를 개별적으로 제어함으로서 방전 및 충전을 밧데리 별로 제어할 수 있는 구조의 태양광 가로등 충·방전 시스템을 제안하였다.

2.5 제안된 시스템 구조 및 제어알고리즘

2.5.1 제안된 충전 시스템 구조

태양광 가로등의 구조는 그림 4와 같이 PV셀, 충전장치, 밧데리, 등기구 및 인버터를 포함한 방전장치와 시스템을 제어하는 제어기로 구성되어 있다. 밧데리는 장마철과 같이 여러날 날씨가 흐린 경우에도 연속적인 점등이 가능할 정도의 용량을 선정한다. 보통은 4일간 충전없이 사용이 가능할 정도의 밧데리 용량을 선정하

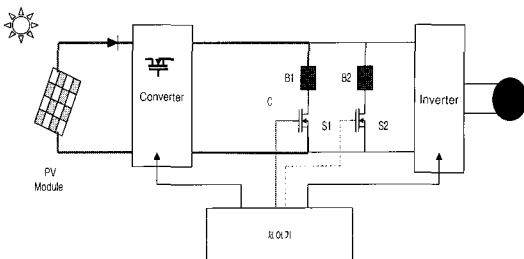


그림 4 제안한 충전시스템 구조

Fig. 4 Architecture Proposed Charge System

게 된다. 본 연구에서는 12V 100Ah 밧데리 2개를 병렬로 사용하였다.

제안된 시스템에서는 병렬로 구성된 밧데리를 각각 충전용과 방전용으로 설정하여 사용함으로 충·방전 횟수를 줄이고 cut off 전압 안에서 방전심도를 조절할 수 있어 밧데리 관리가 유리하고, 충전효율을 높일 수 있도록 하였다. 제어기는 충전할 밧데리와 방전할 밧데리를 선택하여 각각 제어할 수 있도록 S1, S2가 추가되었으며, B₁ 밧데리가 충전 상태이면 B₂는 방전용 전지로 선택된다. 또 B₁ 밧데리가 충전 중에 충전종료 전압에 이르면 제어기에서는 B₂를 충전, B₁을 방전용으로 전환하여 연속사용이 가능하고 밧데리 용량을 모두 활용할 수 있게된다.

2.5.2 제안된 태양광 가로등 충·방전 제어알고리즘

태양광 가로등에서 사용하는 밧데리는 12V 100Ah 2개를 병렬로 연결하여 사용한다. 이 경우 초기치를 모두 100% 상태에서 방전을 개시하고 하루동안 방전량이 60Ah라면 밧데리 2개를 병렬로 연결한 경우는 각각 30Ah씩 방전하여 70%의 잔존용량을 갖게되고 이 때의 전압은 12.6V 정도가 된다. 상대적으로 제안 방식에서는 방전전용 밧데리 1개를 이용하는 경우 60Ah 방전하여 40%의 잔존용량을 갖게되고, 전압은 11.8V 정도를 나타낸다. 용량이 40%인 밧데리의 전압을 V₁, 70%인 밧데리 전압을 V₁₂라 하면 $V_{12} \geq V_1$ 이 되고 이때의 태양광 발전 충전전류는 동일 광량에서 전압 V₁일 때 I₁, V₁₂일 때 I₁₂라 가정하면 그림 6과 같이 $I_{12} \leq I_1$ 이 된다. 따라서 제안된 방식으로 충·방전을 관리할 경우 태양전지에 의한 발전량은 일반적인 경우 보다 증가하게된다. 또한 일반적인 태양광 가로등이 하루에 충전 및 방전이 각각 1회씩 반복되지만 제안된 시스템은 충전용 밧데리와 방전용 밧데리가 별개로 관리되므로 각 밧데리는 하루동안 충전 혹은 방전중 한

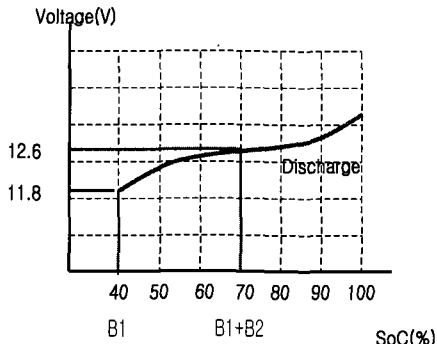


그림 5 방전곡선 비교

Fig. 5 Comparison Discharge curve

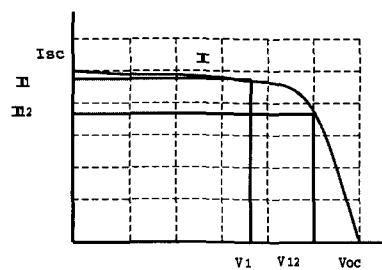


그림 6 전류-전압곡선 비교

Fig. 6 Comparison Current-voltage curve

가지 1회씩 이루어지게 되어 충·방전 횟수를 50% 정도 감소시킬 수 있게된다.

그림 7은 제안된 태양광 가로등 제어 순서도이다. 태양광 가로등의 특성상 충전과 방전이 각각 다른 시간에 이루어지면서, 24시간 동작한다. 초기에 제어기는 배터리의 전압을 각각 검사하여 충전용 및 방전용 배터리를 설정한다. 선택 방법은 단자 전압이 낮은 배터리를 충전용 배터리, 나머지 배터리를 방전용 배터리로 설정한다. 이는 배터리가 안정된 상태에서 SoC는 전압에 단조증가 함수이므로 그림 6에서와 같이 태양광 발전에 의한 충전전류를 크게하여 발전효율을 향상 시킬 수 있고, 방전에도 유리하기 때문이다.

전압이 동일한 경우는 배터리 B1을 우선적으로 충전지, B2를 방전지로 설정하도록 설계되었다. 그리고 방전종료 전압은 11.8V 충전종료 전압은 13.4V로 설정하여 배터리에 과충·방전이 발생하지 않도록 하였다. 순서도에서 V_c 는 충전상태의 배터리 전압, V_{dis} 는 방전상태의 배터리 전압이고, B_{ch} 는 충전, B_{dch} 는 방전용 배터리를 나타낸다. 제안된 충전 시스템은 태양광 가로등과 동일한 실험 세트를 구성하여 실험하였다.

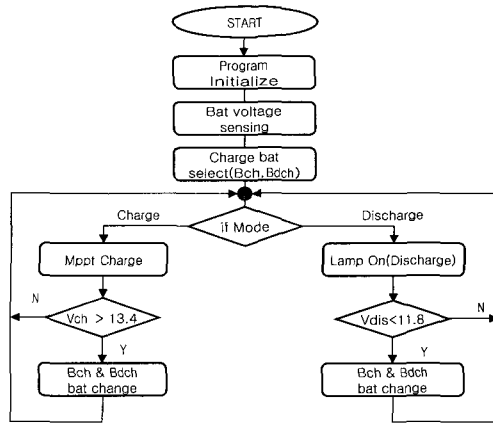


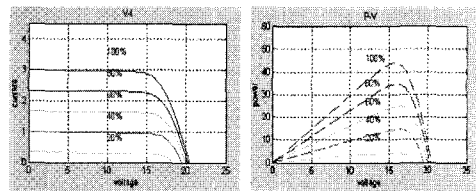
그림 7 제안한 태양광 충전 순서도

Fig. 7 Flow Chart of Proposed Photovoltaic Charger

3. 시뮬레이션 및 실험

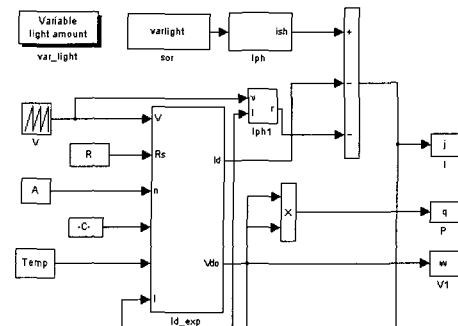
3.1 태양전지 시뮬레이션

태양전지의 모델링 방법으로는 소수의 실측 데이터로부터 모델을 구할 수 있는 보간법과 광기전력 효과를 수학적으로 모델링 하는 매개 변수법이 있다. 본 연구에서는 매개 변수법을 이용 그림 1과 같은 one-diode 모델을 matlab을 이용하여 시뮬레이션 하였다.



(a) 전류 - 전압

(b) 전력 - 전압



(C) Matlab Simulink 블록 다이어그램

그림 8 Matlab을 이용한 태양전지 시뮬레이션

Fig. 8 Simulation Solar Cell by Matlab

출력은 53W 동작전압은 17V, 전류는 3A의 태양전지를 모델로 사용하였다. 시뮬레이션 온도는 25°C이며 1000W/m²을 기준으로 200W/m² 까지 5단계로 하여 실험하여, 태양전지의 출력 특성을 확인하였다. 본 시뮬레이션에서는 온도 변화를 고려하지 않은 상태이다.

그림 8에서 (a)는 I-V 곡선, (b)는 P-V 곡선은 나타내었고 (c) 시뮬링크 모델 블록도이다.

3.2 SPVS 실험 세트

실험 세트는 53W PV모듈 2개, 충전기, 12V 100AHh 밧데리 2개(병렬사용), 인버터, 등기구 및 중요 지점의 데이터 값을 읽어들이고 표시해주는 모니터링 시스템으로 구성되어 있다. 모니터링 시스템을 제외하고는 실제 가로등과 동일하게 만들어졌다.

모니터링을 위해 전압 전류, 광량, 온도 등을 센싱하였고 신호 검출을 위해 16비트 8채널 A/D변환기와 Labview 프로그램을 사용하였다. 제어기는 Micro Chip의 16F877 칩을 사용하여 구성하였다. 실험에 사용된 태양전지 파라미터는 표 1과 같다.

표 1 태양전지 파라미터

Table 1 PV parameter

| 모델명 | GMG01530 |
|---------|----------|
| 발전량 | 53W |
| 개방전압 | 21.7V |
| 단락전류 | 3.35A |
| 최대 동작전압 | 17.4V |
| 최대 동작전류 | 3.05A |

3.3 실험 방법

동작전압이 17V인 태양전지 2개를 1세트로 구성하고 에너지 저장용 밧데리는 100Ah용 2개를 1세트로 구성하였으며, 방전용 부하는 실제 가로등에서 사용한 전등부하를 이용하였다. 비교 실험을 위해 제안된 시스템과 일반적인 태양광 가로등을 각각 구성하여 실험하였다. 전압 전류, 광량, 온도 등을 각기 센싱하여 데이터를 비교 분석하였다. 동일한 실험조건을 만들기 위해 태양전지, 밧데리, 설치 장소를 동일하게 하여 같은 시각에 두 개의 실험세트에서 데이터를 받아 결과를 분석하였다. 단 모니터링 시스템은 하나를 사용하여 데이터를 수집하였다.

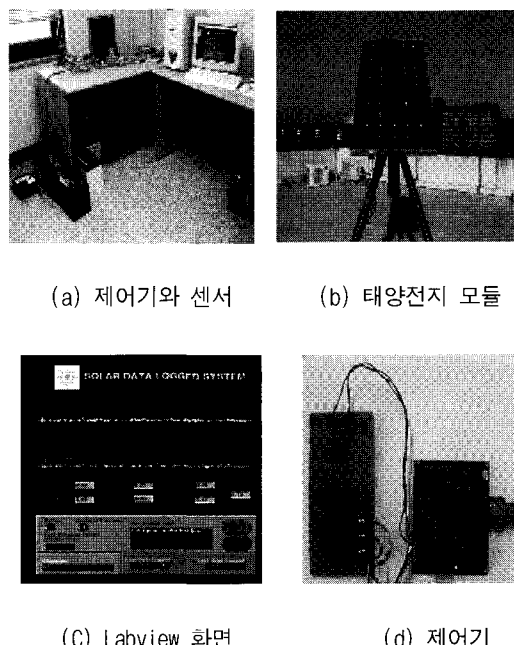


그림 10 실험세트 사진

Fig. 10 Picture of Experiment Set

3.4 실험결과

그림 11은 하루동안의 PV Module 발전특성이다. 구름이 없이 맑은 날의 실험결과로 하루 동안의 광량 변화와 충전전류의 변화가 동일함을 알 수 있다.

그림 12는 제안된 시스템과 기존의 태양광 가로등의 비교 실험으로, 충전 초기 밧데리 초기 상태가 B₁ 약 50%, B₁₂는 70% 정도에서 동일 광량에서 충전을 시작한 결과 초기전압이 B₁₂가 12.6, B₁이 12.1였다. 그림 12에서 제안된 방식에 의한 발전전류가 일반 방식보다 높게 나타나고 있음을 알 수 있다. 동일 광량에서 태

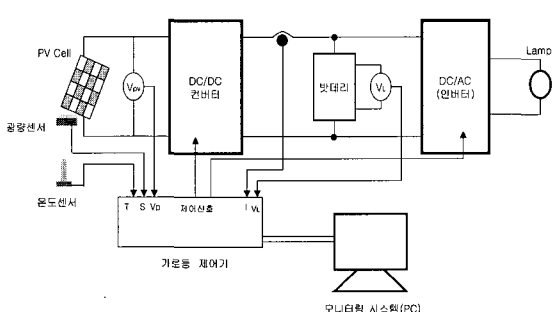


그림 9 가로등 시스템 테스트 세트

Fig. 9 Solar Lighting Lamp System Test Set

양전지의 발전 전류량이 배터리 전압과 관련이 있음을 알 수 있다. 그리고 총 발생 전류 누적값에서도 초기 방전 심도가 깊은 배터리 B_{12} 이 약 30% 정도의 발전 효율 개선이 있었다. 본 실험은 오후 2시 30분부터 5시까지 2시간 30분 정도 측정한 결과이고 날이 맑은 날 측정한 데이터이므로 날씨 및 측정시간 등을 종합 고려할 경우 발전효율 개선 정도가 낮아질 것으로 예측되지만 발전 효율 향상 및 배터리 충전 횟수 가 저감됨을 확인할 수 있었다.

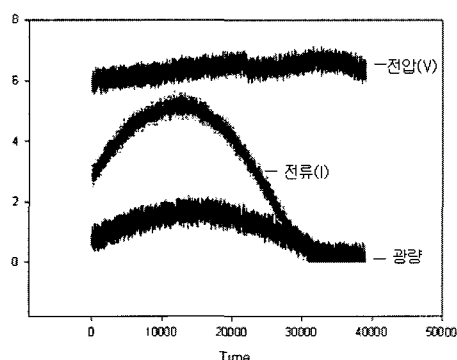


그림 11 PV 전력 곡선의 특성

Fig. 11 Characteristics of PV Generation Curves

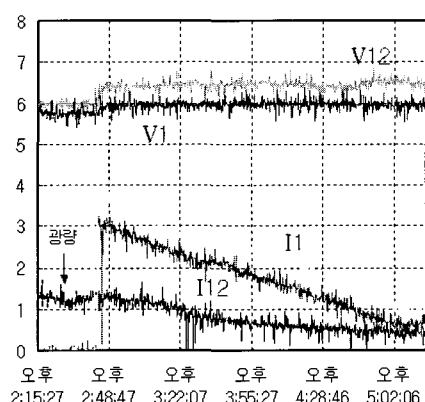


그림 12 배터리 충전 전류 곡선

Fig. 12 Battery Charge Current Curve

표 2 충전 특성 분석

Table 2 Charge characteristics analysis

| 비 고 | B_{11} | B_{12} |
|-------|----------|----------|
| 초기 전압 | 12.1 | 12.6 |
| 총 충전량 | 4.38Ah | 5.74Ah |
| 백 분율 | 100% | 131% |

4. 결 론

본 연구 결과 배터리를 사용하는 소규모 태양광 발전 시스템(태양광 가로등)에는 일정전압 MPPT 제어가 적합한 것으로 나타났고, 배터리 잔존용량에 따라 단자 전압이 변하므로 이를 감안한 제어가 필요하였다. 태양광 가로등에 적합한 MPPT 제어에 대한 부분은 아직은 보충연구가 필요한 상태이다. 그리고 배터리 및 태양전지의 특성을 고려하여 배터리별로 충·방전을 제어하는 방법을 제안 실현하여 태양전지의 발전전력 향상 및 배터리 충전 효율증가(날씨 및 충·방전 정도에 따라 개선 정도가 차이가 있음)를 확인하였으며, 배터리의 충·방전 횟수를 줄이고 방전 심도의 제어가 가능하여 메모리 효과를 저감할 수 있을 것으로 기대된다. 또한 배터리 일부 고장이 발생할 경우에도 무일조 사용일이 감소하지만 정상동작이 가능하고 배터리의 고장이 정상적인 배터리로 전이하는 것을 예방할 수 있어 시스템 유지 보수비용을 절감할 수 있다.

그리고 본 연구는 시스템 안정성을 향상시키고 날씨, 기온 등의 변화에 따른 특성변화를 실험하여 태양광 가로등에 접목하기 위한 연구를 진행할 예정이다.

참 고 문 헌

- [1] M. Abouzeid, "Use of a reluctance stepper motor for solar tracking based on a programmable logic array(PLA) controller", Renewable Energy 23, pp. 551~560, 2001
- [2] D.M Mosher, R.E. Boese, and R.J. Soukupt, "The advantage of suntracking for planar silicon solar cells", Solar Energy, vol. 19, pp. 91~97, 1977.
- [3] 김홍성, 유권종, 송진수, 이병구, 정영석, 강기환, 최규하, "충방전 제어기기를 이용한 독립형 태양광 발전시스템의 설계", 전력전자학술대회 논문집, pp. 103~108, July 1998.
- [4] Moustafa M. Elsayed, "Measurements of solar density distribution on a plane receiver due to a flat heliostat", Solar energy, Vol. 54, No. 6, pp. 403~211, 1995.
- [5] Zhao Zhengming, Chen Kunlun, and Yuan Liquing", Implementation of a Stand-alone Photovoltaic Pumping System with Maximum Power Point Tracking", Proceeding of ICPE '01, pp. 635~638, 2001.
- [6] V. Poulek and M. Libra, "A new low-cost tracking ridge concentrator", Solar Energy Materials & Solar Cells, Vol. 61, pp. 199~201, 2000.

- [7] Tai-Fu Wu, Chien-Hsuan Chang, and Yong-Jing Wu, "Single-stage converters for PV Lighting systems with MPPT and Energy Backup", IEEE Trans. on Aero and Electro. systems, Vol. 35, No. 4, pp. 1306~1317, October 1999.

저자 소개

강신영(姜信永)



1967년 2월 13일생. 1993년 전남대 전기 공학과 졸업. 1996년 동 대학원 전기공학과 졸업(석사). 1998년 동 대학원 전기공학과 박사과정 수료.

이양규(李洋揆)



1974년 9월 2일생. 2000년 조선대 전기공학과 졸업. 현재 전남대 대학원 전기공학과 석사과정.

김광현(金光憲)



1960년 12월 27일생. 1983년 전남대 계측 제어공학과 졸업. 1986년 서울대 대학원 전기공학과 졸업(석사). 1992년 동 대학원 전기공학과 졸업(박사). 현재 전남대 전기공학과 부교수. 당 학회 편집위원.